

## 棒槌瓜的达玛烷型新三萜<sup>\*</sup>

邱明华 聂瑞麟 李忠荣 笠井良次<sup>+</sup> 周俊

(中国科学院昆明植物研究所植物化学开放研究实验室, 昆明 650204)

(<sup>+</sup>日本广岛大学医学部, 广岛 734)

**摘要** 从云南西双版纳产葫芦科植物棒槌瓜 (*Neoalsomitra integrifoliola*) 的茎皮中分离到 ocotillol 达玛烷型新三萜——棒槌三萜 A。通过波谱分析及化学转化, 棒槌三萜 A 的化学结构确定为  $3\beta$ ,  $12\beta$ ,  $23\beta$ ,  $25$ -四羟基- $20S$ ,  $24S$ -环氧-达玛烷。

**关键词** 葫芦科; 棒槌瓜; 达玛烷三萜; 棒槌三萜 A

## A NEW DAMMARANE TRITERPENOID FROM NEOALSOMITRA INTEGRIFOLIOLA

QIU Ming-Hua, NIE Rui-Lin, LI Zhong-Rong, Ryoji KASAI<sup>†</sup>, ZHOU Jun

(*Laboratory of Phytochemistry, Kunming Institute of Botany, Academia Sinica, Kunming 650204*)

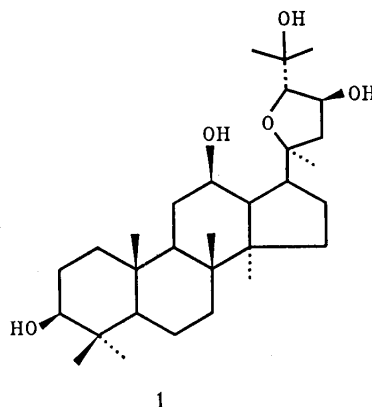
(<sup>†</sup>*Institute of Pharmaceutical Science, Hiroshima University, School of Medicine, Hiroshima 734, Japan*)

**Abstract** A new dammarane triterpenoid, neoalsomitin A(1) were isolated from the rhizomes of *Neoalsomitra integrifoliola*, a chinese cucurbitaceous plant collected in Xishuangbanna, South-Yunnan, China. On the basis of spectral analyses and chemical evidence, the chemical structure of neoalsomitin A (1) was established as  $3\beta$ ,  $12\beta$ ,  $23\beta$ ,  $25$ -tetrahydroxy- $20S$ ,  $24S$ -epoxy-dammarane.

**Key words** Cucurbitaceae; *Neoalsomitra integrifoliola*; Dammarane triterpenoid;  
Neoalsomitin A

棒槌瓜 (*Neoalsomitra integrifoliola* (Cogn.) Hutch) 系葫芦科棒槌瓜属植物, 草质藤本, 分布于热带亚热带地区。其茎、叶和果实有毒, 能引起剧烈腹泻, 严重时手足抽搐<sup>(1)</sup>。化学成分未见报道。我们从西双版纳产棒槌瓜植物的茎皮中, 得到 ocotillol 达玛烷型三萜及其粗皂甙得率在 3% 以上。本文报道这个 ocotillol 达玛烷型新化合物, 称为棒槌三萜 A (neoalsomitin A)。经光谱分析及化学转化证明, 其结构确定为  $3\beta$ ,  $12\beta$ ,  $23\beta$ ,  $25$ -四羟基- $20S$ ,  $24S$ -环氧-达玛烷 ( $3\beta$ ,  $12\beta$ ,  $23\beta$ ,  $25$ -tetrahydroxy- $20S$ ,  $24S$ -epoxy-dammarane)。棒槌瓜是葫芦科中继绞股兰之后, 发现的富含达玛烷三萜及

皂甙的新资源植物。



**棒槌三萜 A(1)** 得率 0.2%。无色针晶 (MeOH), mp 229—230°C,  $[\alpha]_D^{18} = +46.1^\circ$  (MeOH, c=0.521)。FABMS 示分子离子峰  $[M+1]^+$  为 m/z 493:  $^{13}\text{C}$  NMR (DEPT) 数据指出化合物 1 中含有 8 个甲基( $\text{CH}_3$ ), 8 个亚甲基( $\text{CH}_2$ ), 8 个次甲基( $\text{CH}$ ), 6 个季碳( $\text{C}$ ), 及 6 个接氧碳( $\text{C}-\text{O}-$ ), 结合分子离子峰, 可推出化合物 1 的分子式为  $\text{C}_{30}\text{H}_{52}\text{O}_5$ 。 $^{13}\text{C}$  NMR 及  $^1\text{H}$  NMR 谱 8 个甲基信号, 提示化合物 1 具有达玛烷型三萜的母核<sup>(2)</sup>。 $^{13}\text{C}$  NMR 信号  $\delta$  85.11(C), 91.40(CH) 为 ocotillol 达玛烷型三萜中 20, 24 位环氧碳的特征信号, 指出化合物 1 具有 20, 24-环氧戊环侧链存在<sup>(3)</sup>, 因此化合物 1 应属于 ocotillol 达玛烷型三萜。经与已知化合物比较, 4 个羟基的位置分别确定如下:  $^{13}\text{C}$  NMR 谱化学位移  $\delta$  18.74( $\text{CH}_2$ ) 为 C-6 信号, 说明母核 6 位上没有羟基取代; 信号  $\delta$  70.40(CH) 提示  $12\beta$ -OH 的存在,  $^1\text{H}$  NMR 谱中信号  $\delta$  3.781 (1H, ddd, J=11.8, 11.8, 4.8Hz) 的六重峰也肯定了  $12-\text{OH}$  的  $\beta$  构型。 $\delta$  77.94(CH) 为  $3\beta-\text{OH}$  的信号, C-1, C-2 和 C-4, C-5 的化学位移也支持  $3-\text{OH}$  为  $\beta$  构型<sup>(4)</sup>。通过上述分析, 化合物 1 的母核上具有  $3\beta$ ,  $12\beta$ -OH 取代。另外两个羟基则应存在于侧链部分。田中治等已曾仔细研究了侧链上 20 和 24 位的绝对构型对周围碳化学位移数据的影响<sup>(2-4)</sup>。从这些结果, 我们可推定化合物 1 的侧链 20S 和 24S 构型。 $^1\text{H}$  NMR 谱中 26, 27- $\text{CH}_3$  信号分别出现在  $\delta$  1.582, 1.414(各 3H, s), 单峰且较为低场, 说明 25 位上有羟基存在,  $^{13}\text{C}$  NMR 谱中季碳信号  $\delta$  70.76(C) 也证实了 25-OH 取代的存在<sup>(2)</sup>。至于最后一个羟基的位置, 化合物 1 的 FABMS 中, 基峰出现在 m/z 159, 通常为 ocotillol 型三萜的侧链碎片产生的特征离子, 提示了侧链 22 或 23 位上可能有一羟基存在; 化合物 1 的三乙酰化物的 FABMS 更明确肯定侧链 22 或 23 位上含 OH 取代, 这些碎片离子完全符合这类化合物 MS 谱裂解的规律, 再分析化合物 1 中 20S, 24S-环氧戊环的  $^{13}\text{C}$  NMR 数据, 与没有羟基取代 20S, 24S-环氧戊环的化合物 betulafolienetriol-oxide-II 的  $^{13}\text{C}$  NMR 数据相比较<sup>(4)</sup>, 由于  $23\beta$ -OH 的存在, 使得邻位 22-C 和 24-C 的信号分别向低场移动 9.5ppm 和 3.1ppm, 且 20-C 的化学位移向高场位移了 2ppm 左右; 故信号  $\delta$  70.13(CH) 可归宿于 23-C 上的  $\beta$ -OH 取代。 $^1\text{H}$  NMR 谱中 24-H 的信号  $\delta$  4.192(1H, d, J=8.0Hz), 不仅支持 23-OH 取代的存在, 而且偶合常数 J=8.0Hz 的二重峰亦提示此羟基应为  $\beta$  构型; 因为 23-OH 呈  $\beta$  构型时, 23-H 与 24-H 的裂分才可能达到 8Hz。为了证实  $23\beta$ -OH 的构型, 我们又测定了 NOESY 谱, 从中观察到了 26, 27- $\text{CH}_3$  与 23-H 的远程偶合, 肯定了 23-羟基的  $\beta$  构型。基于以上事实, 化合物 1 的结构可推定为  $3\beta$ ,  $12\beta$ ,  $23\beta$ , 25-四羟基-20S, 24S-环氧-达玛烷。

型三萜中 20, 24 位环氧碳的特征信号, 指出化合物 1 具有 20, 24-环氧戊环侧链存在<sup>(3)</sup>, 因此化合物 1 应属于 ocotillol 达玛烷型三萜。经与已知化合物比较, 4 个羟基的位置分别确定如下:  $^{13}\text{C}$  NMR 谱化学位移  $\delta$  18.74( $\text{CH}_2$ ) 为 C-6 信号, 说明母核 6 位上没有羟基取代; 信号  $\delta$  70.40(CH) 提示  $12\beta$ -OH 的存在,  $^1\text{H}$  NMR 谱中信号  $\delta$  3.781 (1H, ddd, J=11.8, 11.8, 4.8Hz) 的六重峰也肯定了  $12-\text{OH}$  的  $\beta$  构型。 $\delta$  77.94(CH) 为  $3\beta-\text{OH}$  的信号, C-1, C-2 和 C-4, C-5 的化学位移也支持  $3-\text{OH}$  为  $\beta$  构型<sup>(4)</sup>。通过上述分析, 化合物 1 的母核上具有  $3\beta$ ,  $12\beta$ -OH 取代。另外两个羟基则应存在于侧链部分。田中治等已曾仔细研究了侧链上 20 和 24 位的绝对构型对周围碳化学位移数据的影响<sup>(2-4)</sup>。从这些结果, 我们可推定化合物 1 的侧链 20S 和 24S 构型。 $^1\text{H}$  NMR 谱中 26, 27- $\text{CH}_3$  信号分别出现在  $\delta$  1.582, 1.414(各 3H, s), 单峰且较为低场, 说明 25 位上有羟基存在,  $^{13}\text{C}$  NMR 谱中季碳信号  $\delta$  70.76(C) 也证实了 25-OH 取代的存在<sup>(2)</sup>。至于最后一个羟基的位置, 化合物 1 的 FABMS 中, 基峰出现在 m/z 159, 通常为 ocotillol 型三萜的侧链碎片产生的特征离子, 提示了侧链 22 或 23 位上可能有一羟基存在; 化合物 1 的三乙酰化物的 FABMS 更明确肯定侧链 22 或 23 位上含 OH 取代, 这些碎片离子完全符合这类化合物 MS 谱裂解的规律, 再分析化合物 1 中 20S, 24S-环氧戊环的  $^{13}\text{C}$  NMR 数据, 与没有羟基取代 20S, 24S-环氧戊环的化合物 betulafolienetriol-oxide-II 的  $^{13}\text{C}$  NMR 数据相比较<sup>(4)</sup>, 由于  $23\beta$ -OH 的存在, 使得邻位 22-C 和 24-C 的信号分别向低场移动 9.5ppm 和 3.1ppm, 且 20-C 的化学位移向高场位移了 2ppm 左右; 故信号  $\delta$  70.13(CH) 可归宿于 23-C 上的  $\beta$ -OH 取代。 $^1\text{H}$  NMR 谱中 24-H 的信号  $\delta$  4.192(1H, d, J=8.0Hz), 不仅支持 23-OH 取代的存在, 而且偶合常数 J=8.0Hz 的二重峰亦提示此羟基应为  $\beta$  构型; 因为 23-OH 呈  $\beta$  构型时, 23-H 与 24-H 的裂分才可能达到 8Hz。为了证实  $23\beta$ -OH 的构型, 我们又测定了 NOESY 谱, 从中观察到了 26, 27- $\text{CH}_3$  与 23-H 的远程偶合, 肯定了 23-羟基的  $\beta$  构型。基于以上事实, 化合物 1 的结构可推定为  $3\beta$ ,  $12\beta$ ,  $23\beta$ , 25-四羟基-20S, 24S-环氧-达玛烷。

## 实验部分

熔点用四川大学科仪厂 WC-1 显微熔点仪测定，未经校正。 $^1\text{H}$ ,  $^{13}\text{C}$  NMR, DEPT 及 2D-NMR 波谱用西德 Bruker AM-400 核磁共振波谱仪测定。Perkin - Elmer 577 型分光光度计测定红外光谱。旋光度用 JASCO Model DIP-370 自动旋光仪测定。

棒槌瓜植物样品采集于云南西双版纳，取 450g 棒槌瓜植物的干茎皮粉，用 95%EtOH 回流提取 3 次；回收乙醇后，得浸膏 40g，溶于 MeOH 过滤除去不溶物，滤液浓缩后得浸膏 32.4g。然后硅胶柱层析分离，洗脱液用  $\text{CHCl}_3$ -MeOH 梯度洗脱，收集  $\text{CHCl}_3$ :MeOH = 7:3 洗脱液洗脱的流份，浓缩后继续用 Rp-18 反相柱层析分离，得到棒槌三萜 A(1) 约 900mg，得率 0.2%。

**棒槌三萜 A(1)**  $\text{C}_{30}\text{H}_{52}\text{O}_5$ , 针状结晶(MeOH)。mp 229—230°C;  $[\alpha]_D^{18} = +46.1^\circ$  (MeOH, c 0.521). IR  $\nu_{\text{max}}^{\text{KBr}} \text{cm}^{-1}$ : 3400, 3240, 2960, 2860, 1460, 1450, 1375, 1090, 1040. FABMS m / z(%): 493[M+1]<sup>+</sup>(38), 391(75), 159[side chain]<sup>+</sup>(base peak, 100).  $^1\text{H}$  NMR (400MHz,  $\text{C}_5\text{D}_5\text{N}$ ):  $\delta$  6.569 (1H, brs, HO-23), 6.089 (1H, s, HO-12), 5.698 (1H, brs, HO-3), 5.510 (1H, brs, HO-25), 5.021 (1H, m, H-23), 4.192 (1H, d,  $J = 8.0\text{Hz}$ , H-24), 3.781 (1H, ddd,  $J = 11.8, 11.8, 4.8\text{Hz}$ , H-12), 3.419 (1H, m, H-3), 1.604, 1.582, 1.414 (各 3H, s,  $\text{CH}_3$ -21, 26, 27), 1.220, 1.030, 0.921, 0.905, 0.892(各 3H, s,  $\text{CH}_3$ -28, 29, 30, 19, 18)ppm.  $^{13}\text{C}$  NMR (100.614MHz,  $\text{C}_5\text{D}_5\text{N}$ ) :  $\delta$  39.49 ( $\text{CH}_2$ , C-1), 28.20( $\text{CH}_2$ , C-2), 77.94(CH, C-3), 39.49(C, C-4), 56.40(CH, C-5), 18.74( $\text{CH}_2$ , C-6), 35.16( $\text{CH}_2$ , C-7), 39.93(C, C-8), 50.83(CH, C-9), 37.35(C, C-10), 32.45( $\text{CH}_2$ , C-11), 70.40(CH, C-12), 49.57(CH, C-13), 52.24(C, C-14), 32.51( $\text{CH}_2$ , C-15), 28.52( $\text{CH}_2$ , C-16), 49.93(CH, C-17), 16.23( $\text{CH}_3$ , C-18), 15.53( $\text{CH}_3$ , C-19), 85.11(C, C-20), 27.59( $\text{CH}_3$ , C-21), 42.03( $\text{CH}_2$ , C-22), 70.13(CH, C-23), 91.40(CH, C-24), 70.76(C, C-25), 26.52( $\text{CH}_3$ , C-26), 29.70( $\text{CH}_3$ , C-27), 28.61( $\text{CH}_3$ , C-28), 16.88( $\text{CH}_3$ , C-29), 18.12( $\text{CH}_3$ , C-30)ppm. DEPT, 2D-NMR 用于 $^1\text{H}$  NMR 和 $^{13}\text{C}$  NMR 数据指定。

**棒槌三萜 A 三乙酰化物：**取 1mg 棒槌三萜 A(1) 样品用吡啶在微型小试管溶解后，滴两滴乙酸酐，反应混合物在室温下放置 10 小时，蒸干后测定 FABMS。3, 12, 23-三乙酰棒槌三萜 A 的 FABMS m / z(%): 619 [M+H]<sup>+</sup>(10), 599 [M+H-HOAc]<sup>+</sup>(25), 541 [M+H-HOAc-H<sub>2</sub>O]<sup>+</sup>(40), 499 [M+H-HOAcx2]<sup>+</sup>(20), 481 [M+H-HOAcx2-H<sub>2</sub>O]<sup>+</sup>(45), 201 [side chain]<sup>+</sup>(58), 141 [side chain-HOAc]<sup>+</sup>(base peak, 100)。

**致谢** 各种波谱由植物化学研究室分析仪器组测定；陶国达高级工程师鉴定植物标本。

## 参考文献

- (1) 陈冀胜, 郑硕主编. 中国有毒植物. 北京: 科学出版社, 1987:205
- (2) Tanaka O, Yahara S. Dammarane saponins of leaves of *Panax pseudo-ginseng* subsp. *Himalaicus*. *Phytochemistry* 1978; 17(8): 1353—1358
- (3) Tanaka O. Application of  $^{13}\text{C}$  NMR spectrometry to structural studies on glycosides: saponins of *Panax* spp. and natural sweet glycosides. *Yakugaku Zasshi* 1985; 105(4): 323—351
- (4) Herz W, Grisebach H, Kirby G W. et al. Progress in the chemistry of organic natural products. New York: Springer-Verlag 1984; 46:46—54